



**ultrazvukové systémy
ACUSON
nabídková paleta a
nové technologie**



Naše dlouhá cesta k úspěchu



Röntgen



Von Behring

1901 Nobel prize winners (Physics and Medicine)

1896
First industrially manufactured medical X-ray unit

1909
The fastest X-ray device of its time

1933
Our first rotating anode X-ray tube

1953
First device for echocardiography

1956
First ever dry chemistry testing for glucose in urine

1957
First fully automated discrete chemistry analyzer for whole blood or serum

1958
First nuclear medicine scanner from Siemens

1964
First glass electrode for blood-gas analysis

1967
World's first real-time ultrasound scanner

1975
Our first CT scanner

1983
First Siemens MRI scanner

1990
World's first spiral CT scanner

1991
First point-of-care HbA1c analyzer

1998
Our first track-based laboratory automation system

1999
First intuitive platform IT from Siemens

2001
Our first PET/CT system

2005
World's first Dual Source CT scanner

2008
Robotic-assisted angiography system

2009
Multi-modality 3D imaging software

2011
First integrated, simultaneous whole-body MRI and PET

2012
Wireless transducers for ultrasound

2014
"Free breathing" CT scanning with dual X-ray sources and detectors

2014
Cloud-based network: teamplay

2015
Wide-angle image Acquisition breast tomosynthesis

2015
The first research 7T MRI: MAGNETOM 7T

2015
First Twin Robotic X-ray for better patient care and productivity

2016
Liquid biopsy

2017
Cinematic rendering for 3D medical imaging

2017
Lab diagnostics solution for immunoassay & clinical chemistry: Atellica® Solution

2017
A whole new world of precision: Biograph Vision

2017
Mobile operations for closer patient interaction: SOMATOM go.platform

2017
MRI technology adapting to human nature: BioMatrix

2017
FAST 3D Camera – automated precise patient positioning

2017
Blood gas testing available at the patient's side

2018
More than 40 AI-enriched offerings

2018
AI-Rad Companion Chest CT to mark and measure potential abnormalities

2018
Software for remote scanning assistance: syngo.Virtual Cockpit¹

2018
Innovation: Planned to redefine the MRI experience?

2018
epoc system: first handheld blood gas analyzer powered by Android

2019
AI-enabled user guidance system: myExam Companion

2019
MR Fingerprinting²: Leverage quantitative data to understand more precisely a patient's condition

2019
ARTIS icono enables a wide procedure mix and multi-disciplinary usage

2019
CT imaging of the head at the point of care: SOMATOM On.site

2019
Multi-modality imaging decision support with AI-Rad Companion³

2019
AIDAN Artificial Intelligence for Molecular Imaging

2020
Breaking barriers to expand the reach of MRI: MAGNETOM Free.Max

2020
Syngo Carbon⁵: New software enterprise imaging and reporting

2020
In-vitro diagnostic assays^{6,7} for SARS-CoV-2 detection

2020
Biograph Vision Quadra™ 106 cm axial PET field of view for simultaneous whole-body imaging

2021
NAEOTOM Alpha⁸: The world's first photon-counting CT

2021
8-minute finger-stick test for high-sensitivity troponin I⁸

2021
Addition of an integrated portfolio for fighting cancer through joining forces with Varian

2021
Partners in cancer care: Value Partnerships | Oncology

2021
Disruptively simple approach to MRI: MAGNETOM Free.Star

2022
MAGNETOM Cima.X & MAGNETOM Terra.X⁹

2022
MAGNETOM Viato.Mobile⁹

2022
Halcyon™ and Ethos™ radiotherapy system featuring HyperSight™ imaging solution

2023
Self-driving mobile 3D C-arm: CIARTIC Move – Move like never before¹⁰

2023
SOMATOM Pro.Pulse¹¹: Unlock Dual Source technology. Everywhere.

We pioneer breakthroughs in healthcare. For everyone. Everywhere. Sustainably.

Innovating personalized care

Achieving operational excellence

Transforming the system of care

Future

The products/features (mentioned herein) are not commercially available in all countries. Due to regulatory reasons, their future availability cannot be guaranteed. Please contact your local Siemens Healthineers organization for further details. | 1 syngo.Virtual Cockpit is not commercially available in all countries. Due to regulatory reasons its future availability cannot be guaranteed. Precondition: Expert-i enabled modality from Siemens Healthineers. | 2 Innovation is still under development and not commercially available yet. It is not for sale in the U.S. Its future availability cannot be ensured. | 3 The product / feature is not for sale in the U.S. Its future availability cannot be guaranteed. | 4 Several devices of AI-Rad Companion are planned and under development, not commercially available in all countries, and their future availability cannot be ensured. | 5 Syngo Carbon consists of several products which are (medical) devices in their own right. Some products are under development and not commercially available. Future availability cannot be ensured. | 6 These SARS-CoV-2 molecular and serology tests have not been FDA cleared or approved. These tests have been authorized by FDA under an EUA for use by authorized laboratories. The molecular test has been authorized only for the detection of nucleic acid from SARS-CoV-2, not for any other viruses or pathogens. The serology test has been authorized only for detecting the presence of antibodies against SARS-CoV-2, not for any other viruses or pathogens. These tests are only authorized for the duration of the declaration that circumstances exist justifying the authorization of emergency use of in vitro diagnostics for detection and/or diagnosis of COVID-19 under Section 564(b)(1) of the Act, 21 U.S.C. § 360bbb-3(b)(1), unless the authorization is terminated or revoked sooner. | 7 The Siemens Healthineers lab and POC antigen assays are not available for sale in the U.S. Product availability may vary by country and is subject to regulatory requirements. | 8 The product / feature is not for sale in the U.S. Its future availability cannot be guaranteed. | 9 The products are still under development and not commercially available yet. Their future availability cannot be ensured. Siemens Healthineers neither intends, nor assumes any obligation, to update or revise these forward-looking statements in light of developments which differ from those anticipated. | 10 CIARTIC Move is pending 510(k) clearance, and is not yet commercially available in the United States. | 11 SOMATOM Pro.Pulse is pending 510(k) clearance, and is not yet commercially available in the United States.

Historie první a trvalé značky s mnoha světovými prvenstvími Klinická řešení na bázi PC od roku 1983 a s AI od roku 2010



1953

První přístroj
pro echokardiografii



1968

Siemens Vidoson
První „real-time“
ultrazvukový scanner
na světě



1983

ACUSON 128
První použití počítače
v ultrazvuku



1998

ACUSON AcuNav
Světově první
intrakardiální katetr



2007

ACUSON P10
Světově první
kapesní ultrazvuk



2010

ACUSON SC2000
První AI aplikace
syngo Auto EF



2012

ACUSON Freestyle
Světově první přístroj
se sondami bez kabelů



2018

ACUSON Sequoia
Nová platforma
AI Driven
ultrazvuků



2018

ACUSON Juniper
Nová platforma
klinických ultrazvuků



2020

**ACUSON
Redwood**



2022

**ACUSON
P500
Portable s ICE**



2024

**ACUSON
Maple**



2024

**ACUSON
Origin**



2024

**AcuNav
Lumos**

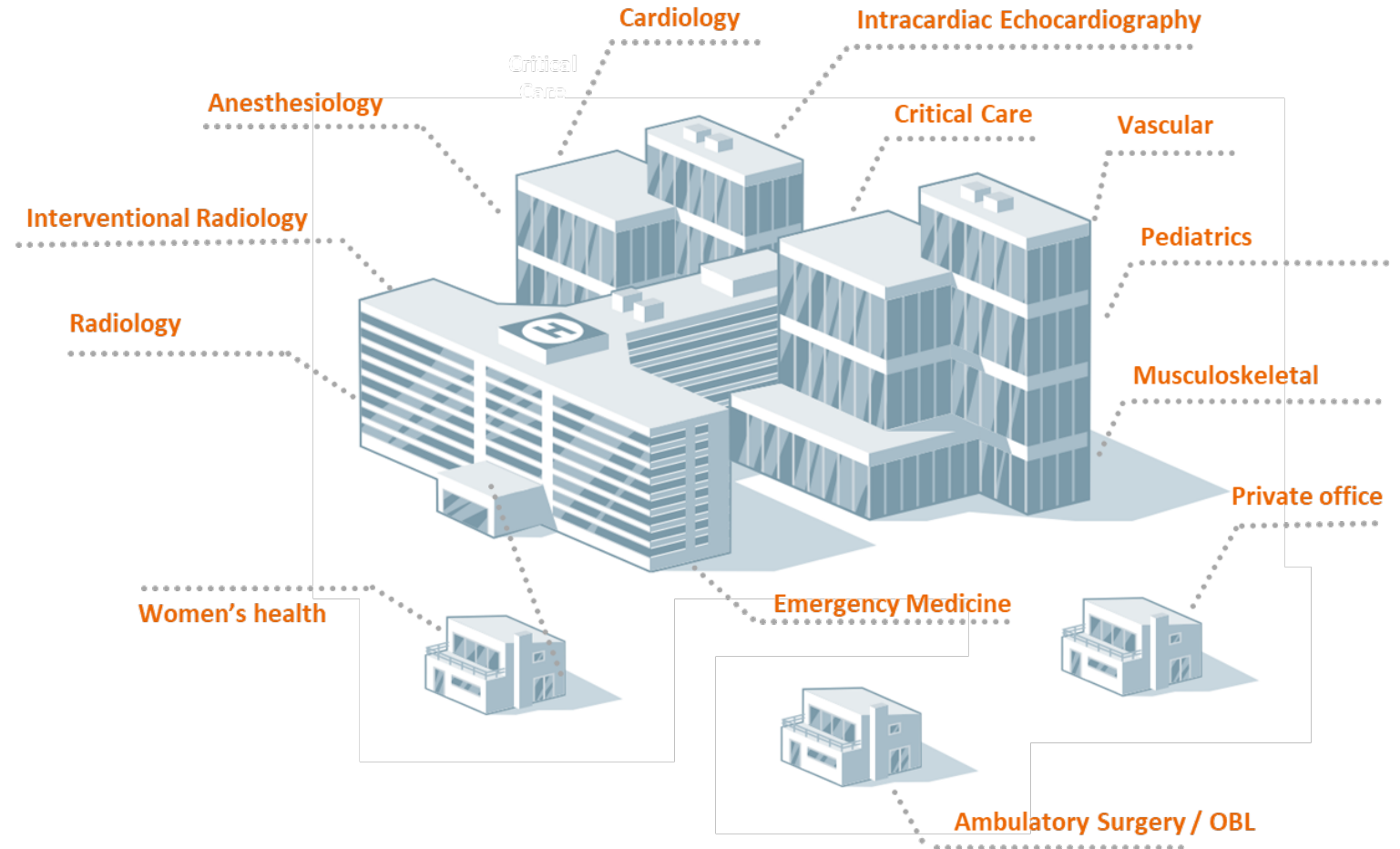
Potřeba ultrazvukové diagnostiky stále roste

Portfolio našich produktů pokrývá potřeby celého zdravotnického systému

Bezpečná metoda bez
radičních vlivů

Cenově velmi dostupná a
přizpůsobitelná dg. účelu

Mobilní a pohotová
diagnostika



Jsme schopni pokrýt většinu požadavků moderní ultrazvukové diagnostiky

System přizpůsobený potřebám uživatele je zároveň ekonomicky optimální

Abdominální
diagnostika
GI



ACUSON Sequoia
Crown Edition



ACUSON Sequoia
Select



ACUSON Redwood



ACUSON Juniper



ACUSON Maple



ACUSON P500



ACUSON Freestyle

Kardio
diagnostika
CV



ACUSON Origin



ACUSON Redwood CV



ACUSON Juniper CV



ACUSON Juniper
Select



ACUSON P500 ICE



ACUSON Freestyle Elite
with ARTIS Access

Ultra Premium

Premium

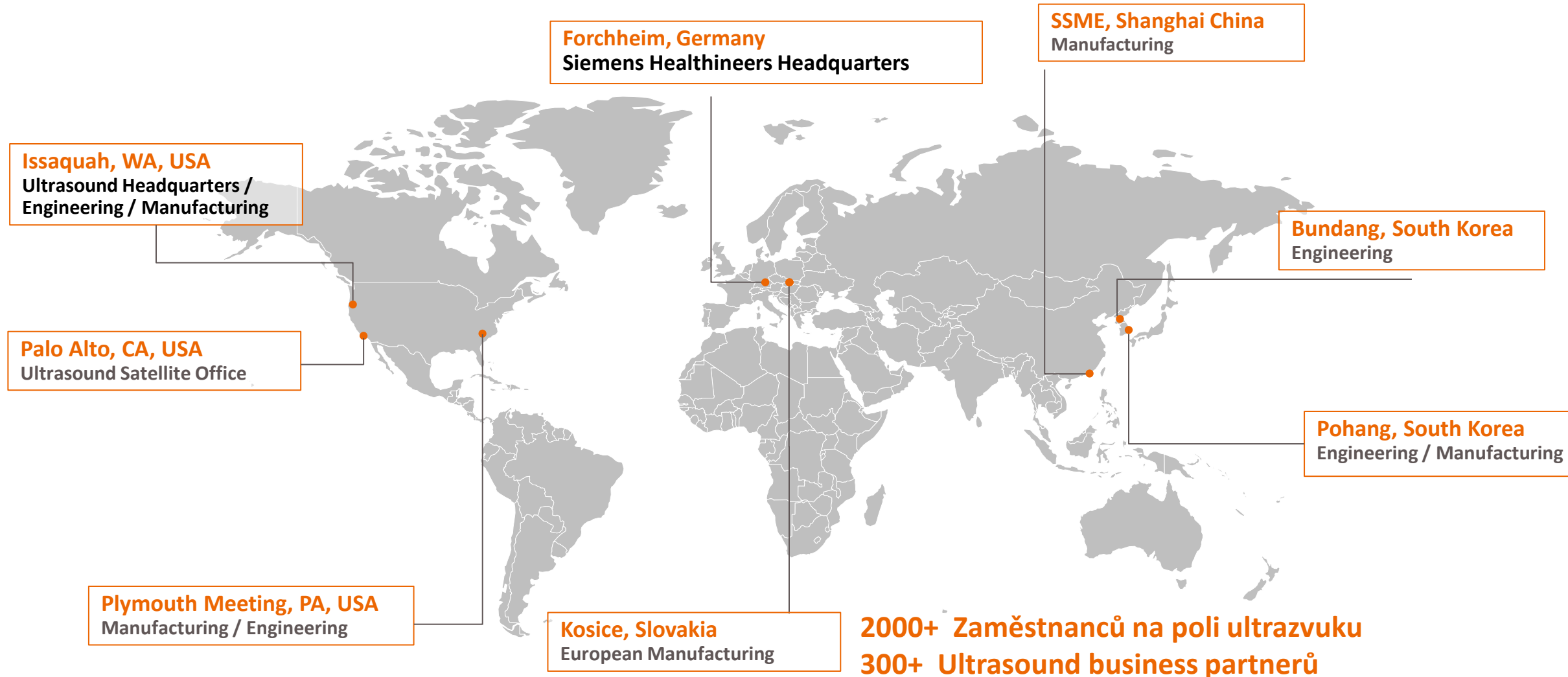
High Performance

Performance

Portable

Wireless

Siemens je světovou firmou s výrobními kapacitami po celém světě



2000+ Zaměstnanců na poli ultrazvuku
300+ Ultrasound business partnerů

Naše cílené holistické metody v ultrazvuku nám poskytují konkurenční výhody v CV a GI ultrazvukové diagnostice

CV



20+ let vedoucí firma v EP, dodáno 2+ miliony katetrů

Ukotvení ultrazvuku jako standardní metody v EP CV procedurách.

J&J/Biosense
Webster

Partnerství umožňuje obsloužit
70% trhu

Vedoucí firma v AI pro CV

GI



Nové Portfolio přístrojů

Zcela obnovené v posledních 4 letech

UDFF

Nový benchmark v US diagnostice jater

Spolehlivý hardware/software

Jednoduchá a konzistentní obsluha

Inovace
Rychlost

Cenově optimální

Spolehlivost

Kvalitní servis



V ultrazvukové diagnostice se soustředíme na tři strategické oblasti



Onemocnění jater



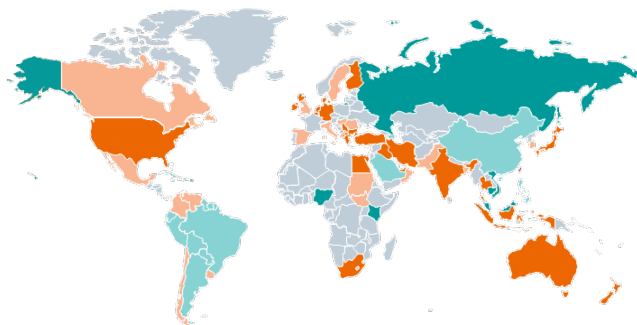
Rakovina prsu



Kardiologie

30%

global MASLD prevalence¹



>2 million

V roce 2022 bylo po celém světě diagnostikováno 2,25 milionu onemocnění rakovinou prsu



Srdeční selhání



Structural Heart Disease (SHD)



Nemoci koronárních arterií (CAD)



Arytmie /EP

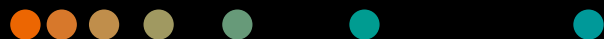
¹YipTC,VilarGomezE,PettaS,YilmazY,WongGL,AdamsLA,etal.GeographicalsimilarityanddifferencesintheburdenandgeneticpredispositionofNAFLD. Hepa-tology2023;77(4):1404–27.doi:10.1002/hep.32774.

²Breast cancer care (siemens-healthineers.com)



AcuNav Lumos 4D ICE ultrasound catheter

Osvětlete si cestu !





Rozšiřuje možnosti transkutánních kardo intervencí

Výrazně zlepšuje vícerovinnou rekonstrukci (MPR) a biplane imaging (s použitím ECG ale i bez) za současného udržení objemových, diagnosticky relevantních frekvencí. Umožňuje anatomicky přesné zavedení nástrojů i těles.

Lepší detekce „Leaku“ v real-time 4D color Doppleru

Pracuje s ACUSON Origin, novým kardiologickým systémem s integrovanou AI bází pro optimalizaci vyšetření a plně automatická měření.

Unikátně detailní vizualizace



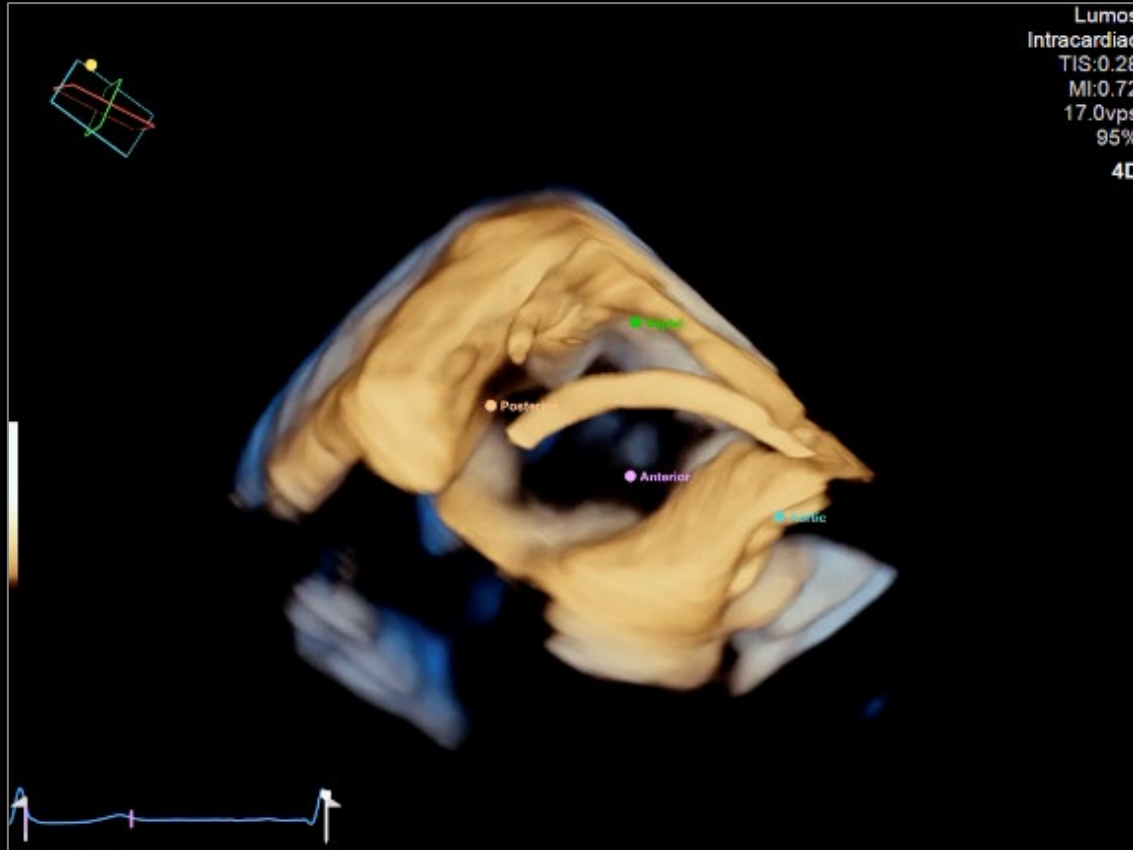
LAAC with Watchman™ device¹⁰

Pokročilé nástroje pro 3D měření



LAA ostium 3D calipers

Advanced 3D landmark tools



Tricuspid intervention with 3D calipers

Sensitive 4D color for leak protection



Tricuspid regurgitation 4D color

ACUSON Origin + AcuNav Lumos

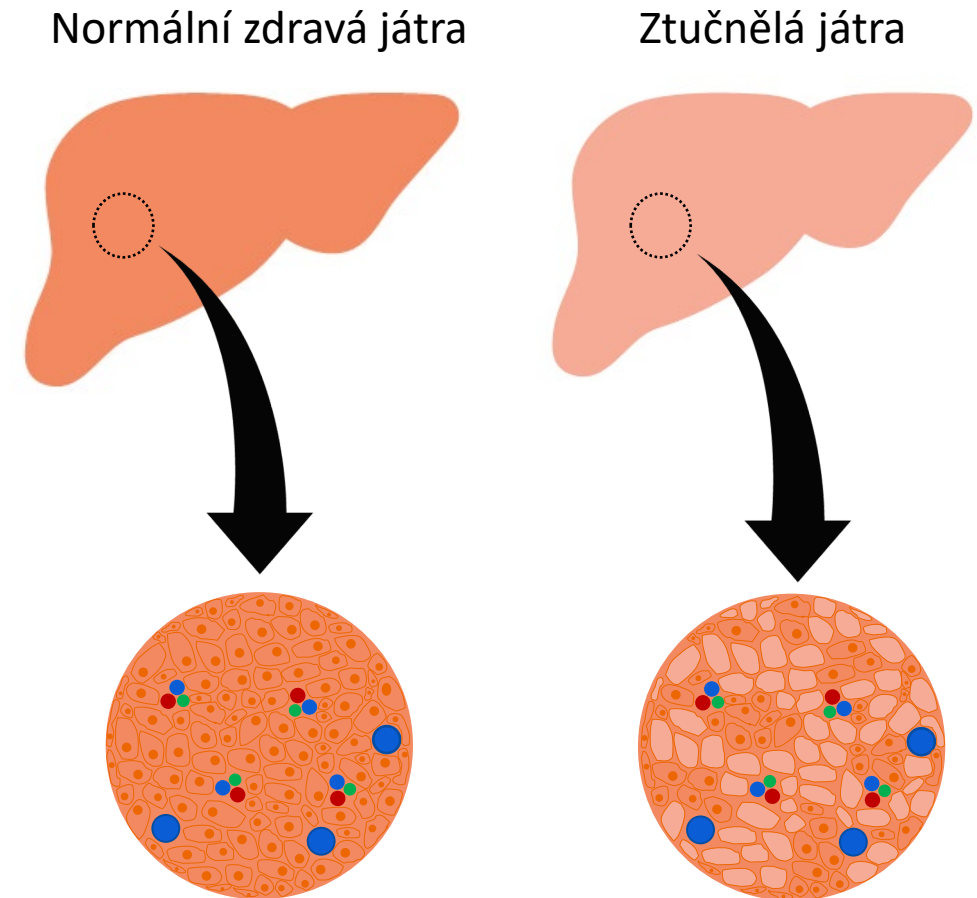
AcuNav Lumos je funkční spolu s ACUSON Origin, novým kardiologickým systémem využívajícím v dosud nevídaném rozsahu AI pro volbu akustických řezů, optimalizaci zobrazení a plně automatizovaná měření.

To jsou prvky moderní diagnostické excellence.



Proč je kvantifikace tukového obsahu jater důležitá?

- Metabolic dysfunction-associated steatotic liver disease, tedy (MASLD) se dotýká zhruba 30% lidí na světě a je nejběžnějším chronickým onemocněním,
- MASLD běžně potkáváme u lidí s vysokým BMI
- MASLD nemá žádné nebo jen malé symptomy, neléčené však masivní, devastující účinky
- Pokud je MASLD včas diagnostikován, je reverzibilní
- Diagnostika nemusí být ani nákladná ani složitá
- Ve studii s více než 8 miliony lidí byla obezita přítomna u 51% lidí s MASLD a u 82% lidí s MASH
- MASLD se stala nejčastější příčinou jaterní transplantace v západním světě



*Younossi Zobair M. Non-alcoholic fatty liver disease – A global public health perspective. Journal of Hepatology. 2019 vol 70|531-544

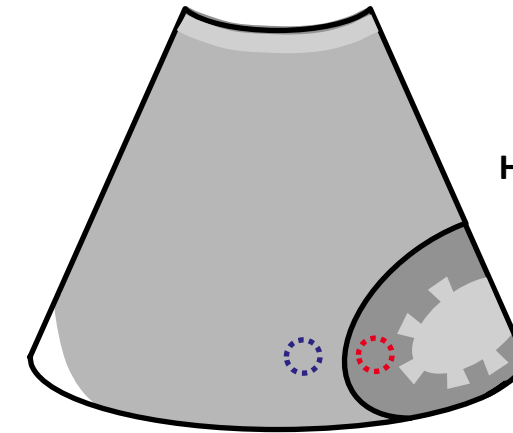
°Caussy Cyrielle, Reeder Scott B, Sirlin Claude B, Loomba Rohit. Non-invasive, quantitative assessment of liver fat by MRI-PDFF as an endpoint in MASH trials. Hepatology. 2018 Aug; 68(2): 763-772. Doi:10.1002/hep. 29797

Hepatorenální Index (HRI)

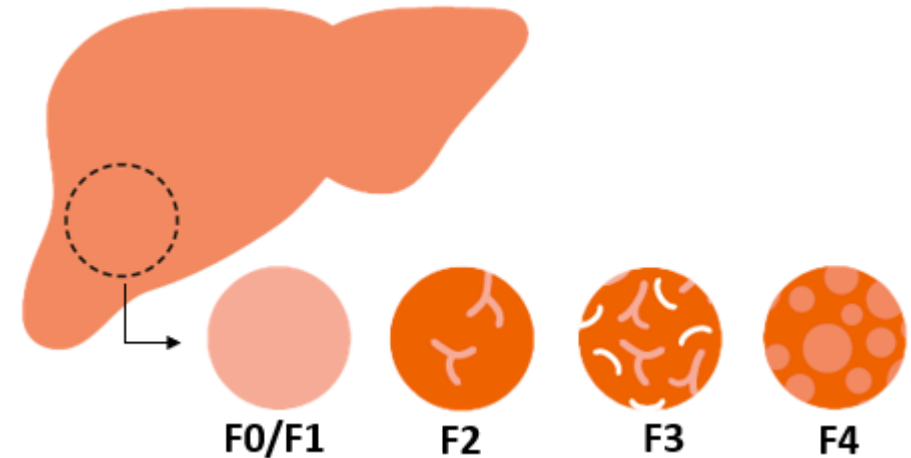
- Hodnotí echogenitu jaterní tkáně v relaci k ledvinnému parenchymu kortexu
- Omezeními jsou individuální vlastnosti pacientů, renální patologie, různá hloubka relačních oblastí, insonační úhel a.j.
- Elastography

Elastografie

- Hodnotí fibrotizaci, nikoliv tuk
- Značné číselné rozdíly mezi jednotlivými výrobci



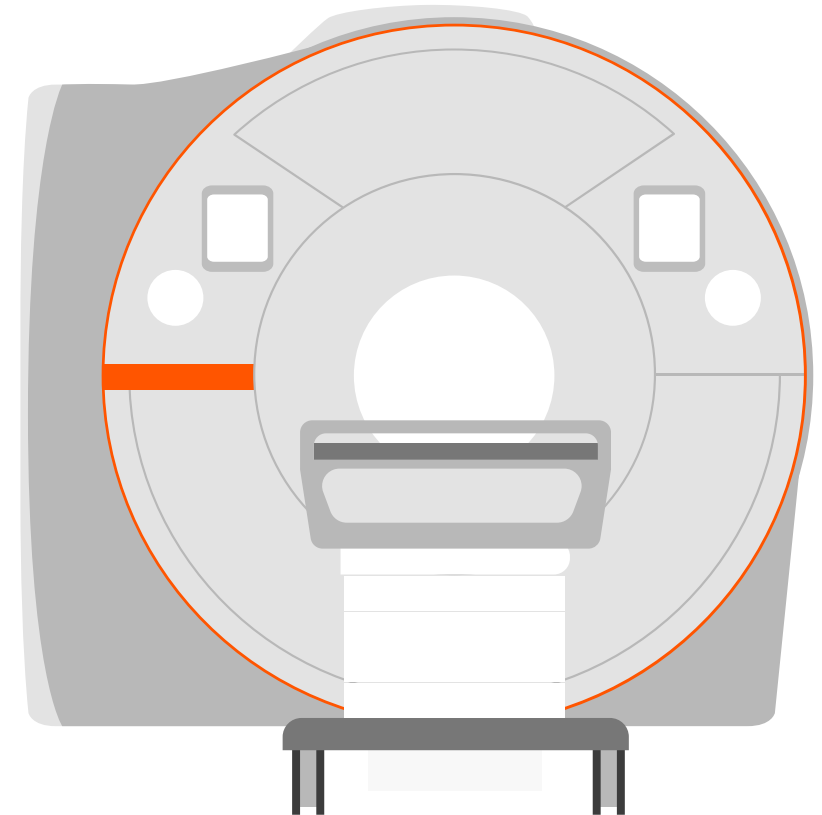
$$\text{HRI} = \frac{\text{Brightness of liver}}{\text{Brightness of kidney}}$$



Magnetic Resonance Imaging (MRI - PDFF)

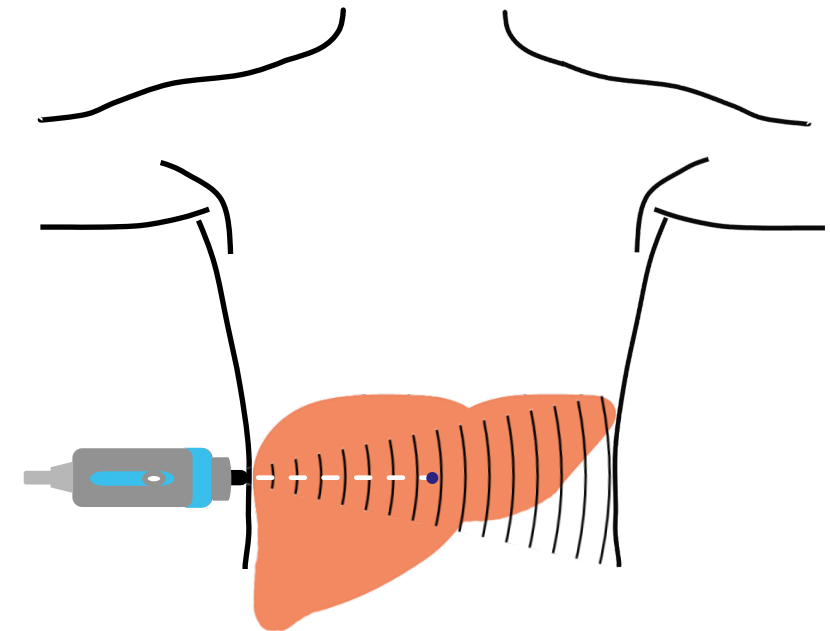
- Detekuje protonové signály z nevázaných molekul vody a triglyceridů
- Technika využívá separaci vody a tuku založené na frekvenčních rozdílech v odezvě jejich protonů.
- Difference je využita pro kalkulaci tukové frakce v procentech.
- Je známá jako Proton Density Fat Fraction (MRI-PDFF)
- Používá 5% práh pro určení steatózy

$$\text{MRI-PDFF} = \frac{\textit{Fat}}{\textit{Fat} + \textit{Water}} \times 100\%$$



Controlled Attenuation Parameter (CAP)

- Steatosis is measured alongside stiffness using Vibration Controlled Transient Elastography (VCTE)
- Měří se v předdefinované, pevně dané oblasti a dané hloubce sondy
- Udává se v decibelech/metr (dB/m), v pásmu 100 – 400 dB/m (užívá se median nejméně 10 vzorků)
- Čím vyšší obsah tuku ve tkáni, tím vyšší CAP hodnota
- Omezení:
 - Nezobrazuje anatomicky přesně oblast měření
 - Omezená přesnost u pacientů s vysokým BMI



Tuková frakce odvozená ultrazvukem (UDFF)

Co to je a jak je to determinováno?



(UDFF) kvantifikuje v % zastoupení tukové tkáně (buněk) v játrech



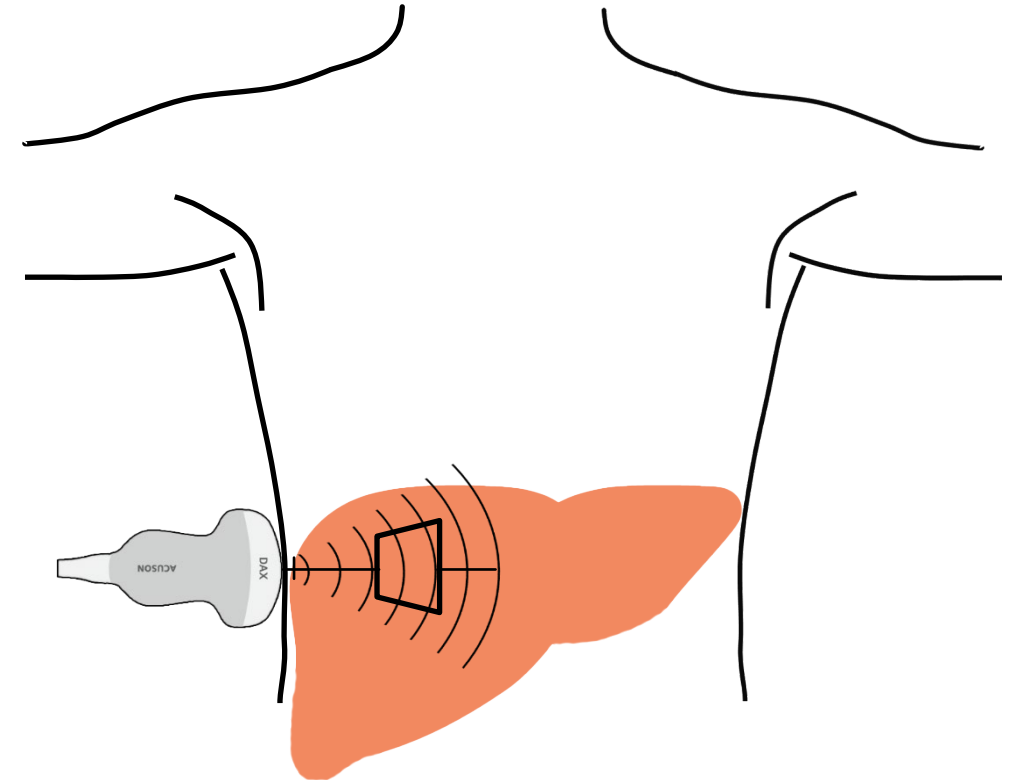
UDFF determinuje tukový obsah na základě kombinace měření útlumu a zpětného rozptylu ve tkáni

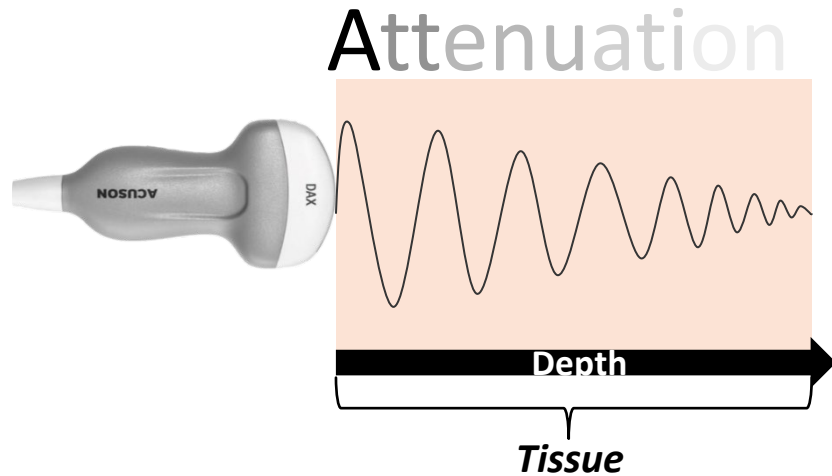


Míra útlumu (AC) a míra zpětného rozptylu (BSC) jsou přímo měřeny; a speciální algoritmus linearizuje kombinaci AC a BSC s MRI-PDFF



UDFF je index, stejně jako PDFF, udává se v % v pásmu 0 – 100% kde 5% bývá cut-off hodnotou pro určení pozitivní nebo negativní diagnózy ztučnění jater [steatosis]





Útlum závisí na : hloubce, frekvenci a typu tkáně

Tuková tkáň vykazuje vysoký útlum

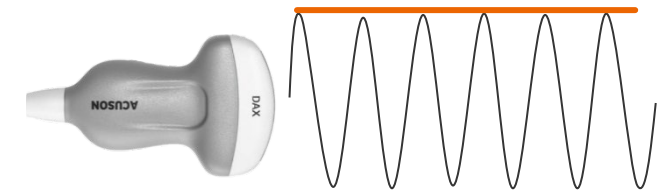
Číselně jde o vykazování obsahu a amplitudy jednotlivých frekvencí echa

z různých hloubek ve srovnání se známou referencí

Koeficient útlumu (attenuation coefficient AC) je vlastně strmost oranžové obálky na pravém obrázku a je udáván v dB/cm/MHz

Ze samotné AC nelze ještě určit UDFP

i. No Attenuation



ii. Moderate Attenuation

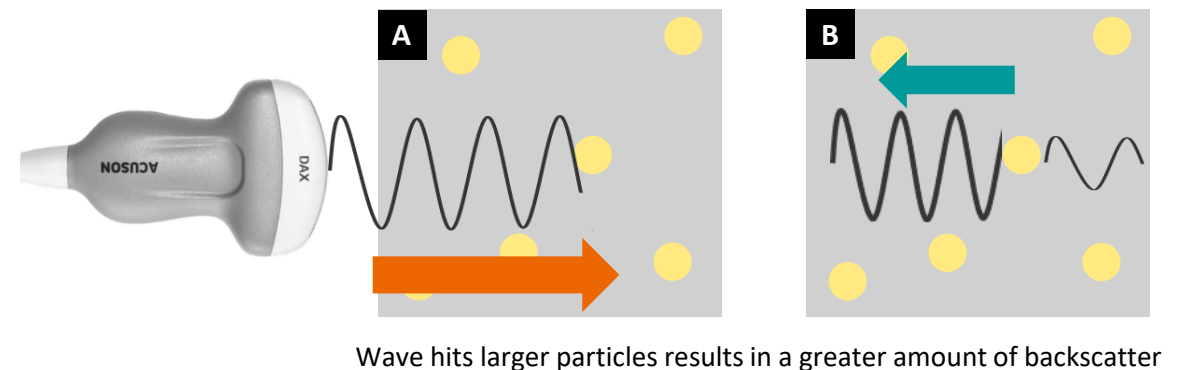
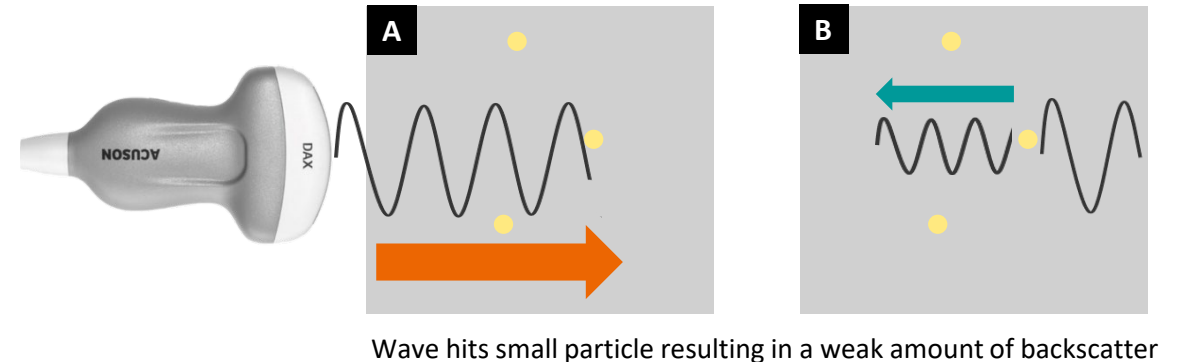


ii. Moderate Attenuation



Zpětný rozptyl – Backscatter BSC

- Struktura tkáně, zvláště pak velikost buněk, determinuje fyzikální charakter odrazu mechanického vlnění zvuku. Čím větší jsou buňky (tuk), tím větší je refrakce zvuku v nedefinovaných směrech.
- Při tukové akumulaci ve tkáni velikost buněk narůstá
- Čím větší je procento velkých tukových buněk, tím větší je úhrn energie zpětně rozptýleného (odraženého) zvuku
- Koeficient rozptylu se udává v $[\text{cm}\cdot\text{sr}]^{-1}$ a představuje základní mikrostrukturální informaci o tkáni nutnou pro výpočet UDFP
- Čím je větší obsah tuku, tím je větší koeficient zpětného rozptylu.





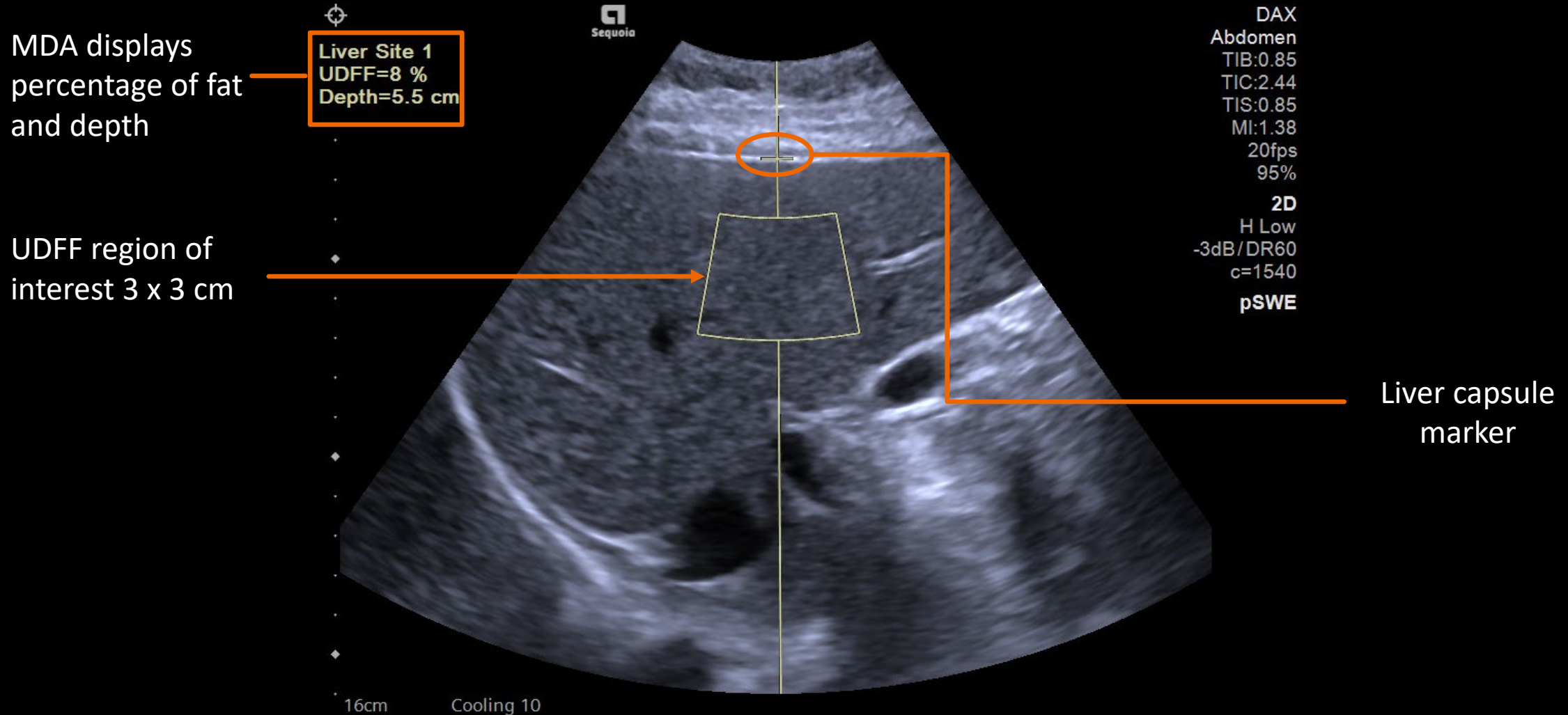
Finální výpočet UDFF

Koeficient útlumu i rozptylu rostou s růstem tukového obsahu jaterní tkáně. Speciálním algoritmem jsou poté zpracovány do lineární souvislosti s PDFF, tedy hodnotou určenou na základě MR analýzy protonové odpovědi.

$$BSC(3MHz) \xrightarrow{P} UDFF$$

UDFF index představuje podobný nástroj jako je MRI-PDFF a podobně jako AC a BSC vykazuje přímo úměrný vztah k tukovému obsahu v jaterní tkáni.

Image layout – UDFF



MDA displays percentage of fat and depth

Liver Site 1
UDFF=8 %
Depth=5.5 cm

UDFF region of interest 3 x 3 cm

DAX
Abdomen
TIB:0.85
TIC:2.44
TIS:0.85
MI:1.38
20fps
95%
2D
H Low
-3dB/DR60
c=1540
pSWE

Liver capsule marker

16cm Cooling 10



UDFF Report

- Results will be displayed for each acquisition
- Measurements can be deleted

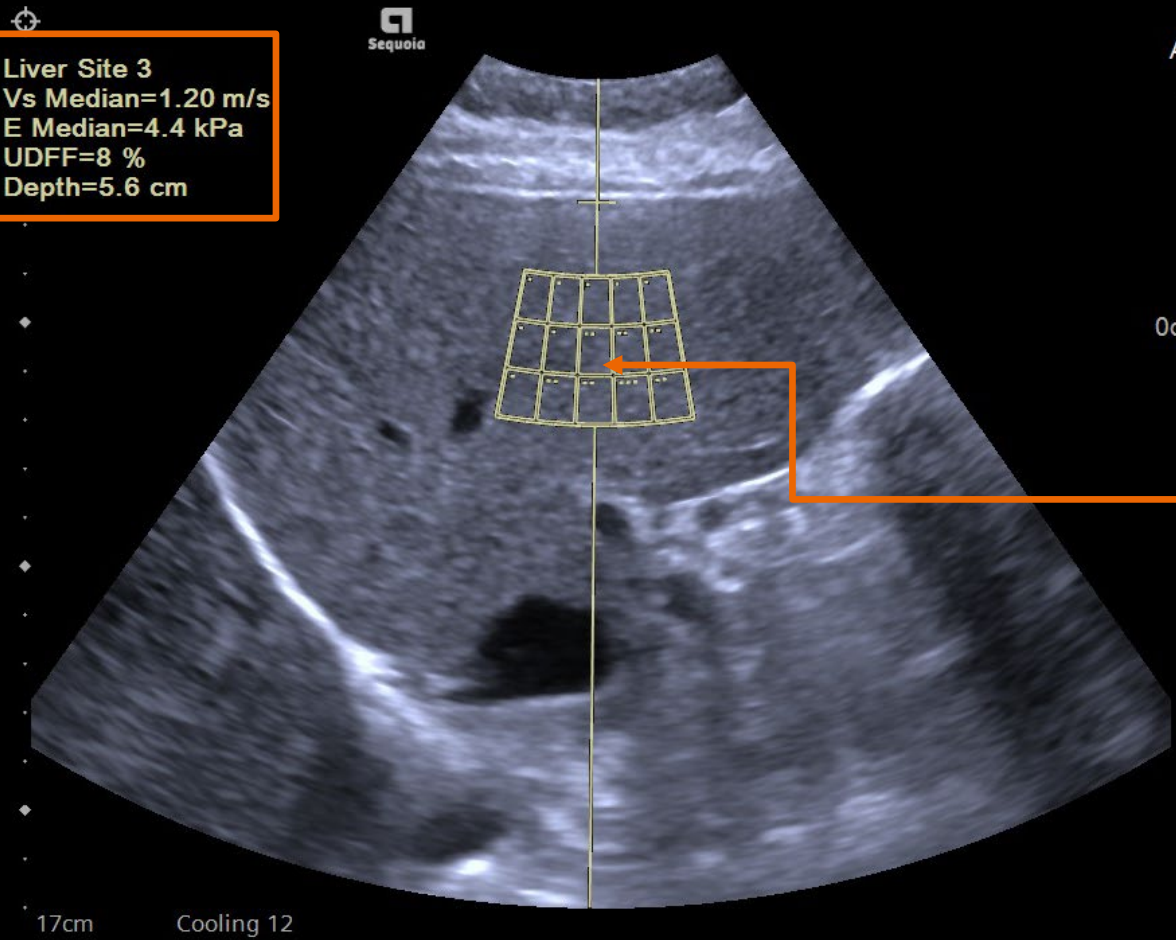
Liver Ultrasound Derived Fat Fraction Measurements (UDFF)

	Liver Site 1				
	UDFF	Depth			
	%	cm			
1	6	5.9			
2	6	5.9			
3	7	5.9			
4	6	5.9			
5	5	5.9			
Mean	6.0				
Std Dev	0.7				
Median	6.0				
IQR	1.0				
IQR/Median	0.17				
Overall Statistics					
Mean	6.0 %	Std Dev	0.7 %	Median	6.0 %
				IQR	1.0 %
				IQR/Median	0.17

UDFF and Auto pSWE - DAX

Measurement display area shows both values

Liver Site 3
Vs Median=1.20 m/s
E Median=4.4 kPa
UDFF=8 %
Depth=5.6 cm



DAX
Abdomen
TIB:0.90
TIC:2.47
TIS:0.90
MI:1.38
19fps
95%

2D
H Low
0dB/DR60
c=1540

pSWE

Auto pSWE and UDFF measurements calculated within the same area

17cm Cooling 12

Acuson Sequoia naše odpověď na výzvy UDFF, liver stiffness a AI řízeného ultrazvuku

- Ultrasound Derived Fat Fraction (UDFF) je měřicí nástroj podporující lékaře v diagnóze a v managementu léčby pacientů s jaterní steatózou
- Výsledky jsou sbírány v oblasti definované lékařem, za použití stejné techniky (nikli však stejné technologie) jako měření tuhosti jaterní tkáně (Shear Wave)
- UDFF index je počítán z informace o útlumu a zpětném rozptylu a je zobrazen spolu s údajem o tuhosti jaterní tkáně ve stejném regionu (ROI) UDFF je zobrazeno v %, stříhová pevnost v kPa nebo v m/s
- UDFF index je přizpůsoben ke shodě s MRI-PDFF, má stejnou CuttOff hodnotu 5% a proto může být i srovnáván s výsledky těchto vyšetření.





Zvláštní dík všem ultrazvukovým srdcařům !!!

DĚKUJI